

RICHARD A. SOREF, et al
AFB00670
SHEET 1 OF 8

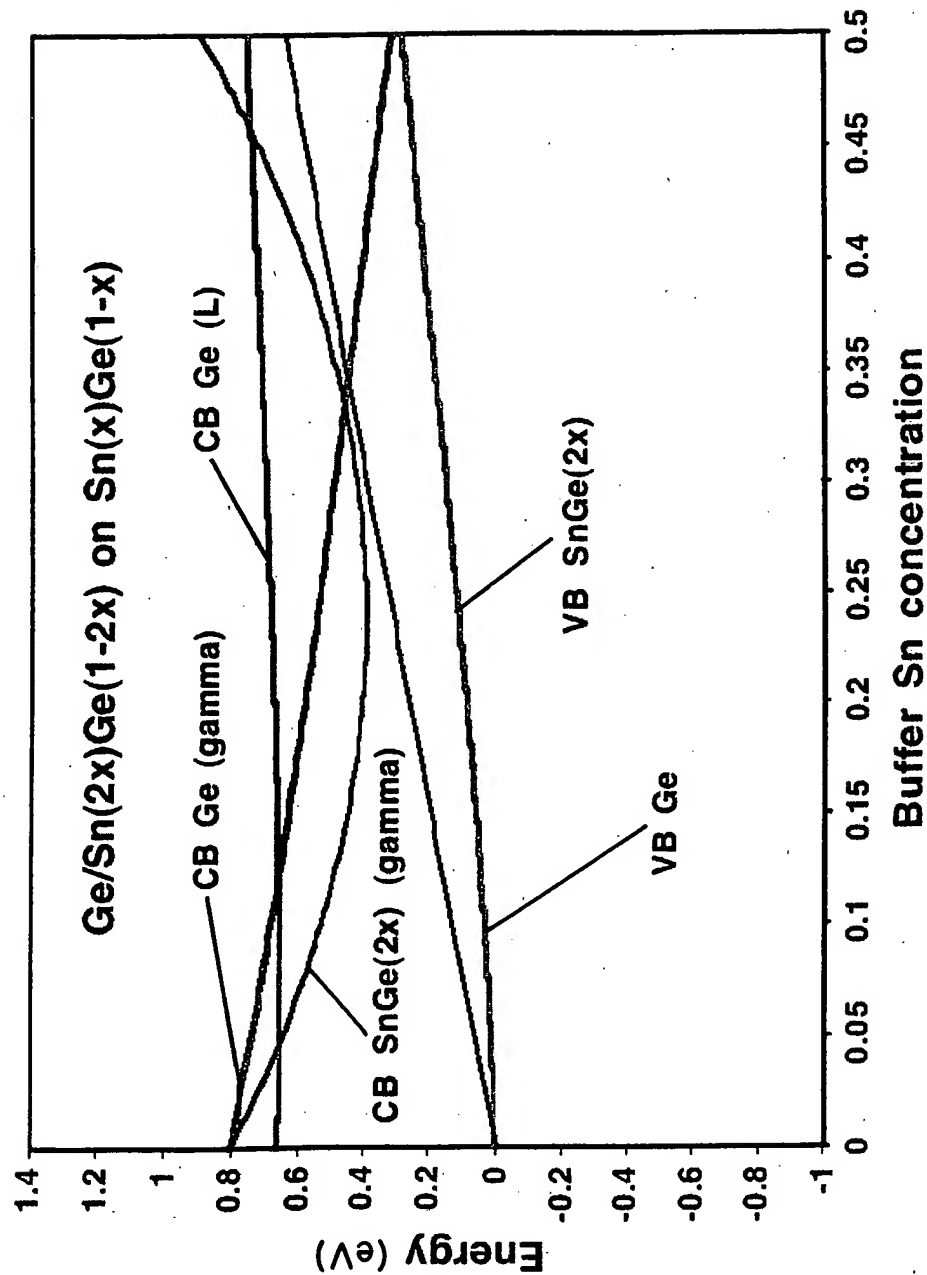


FIG. 1

RICHARD A. SOREF, et al
AFB00670
SHEET 2 OF 8

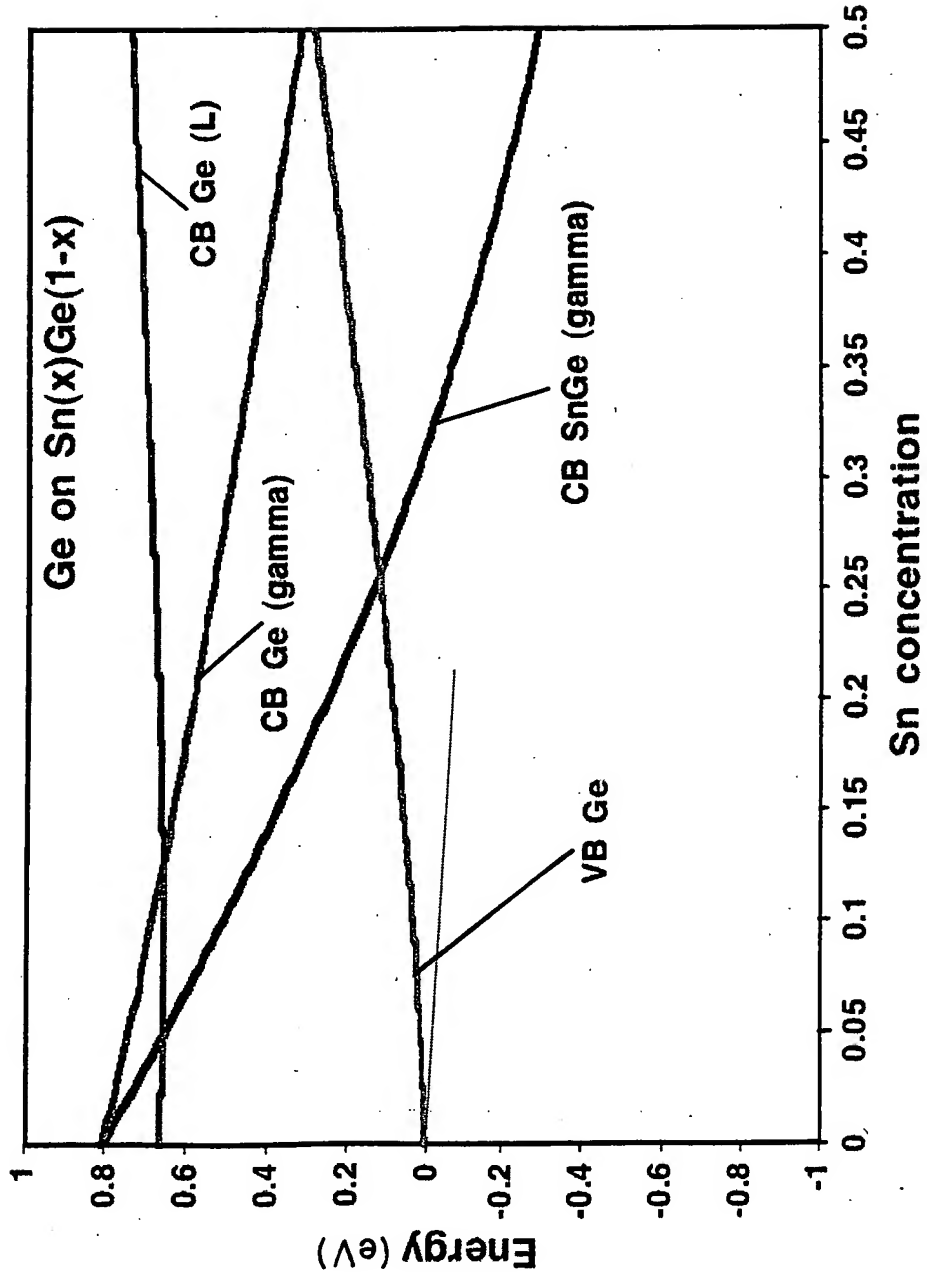


FIG. 2

RICHARD A. SOREF, et al
AFB00670
SHEET 3 OF 8

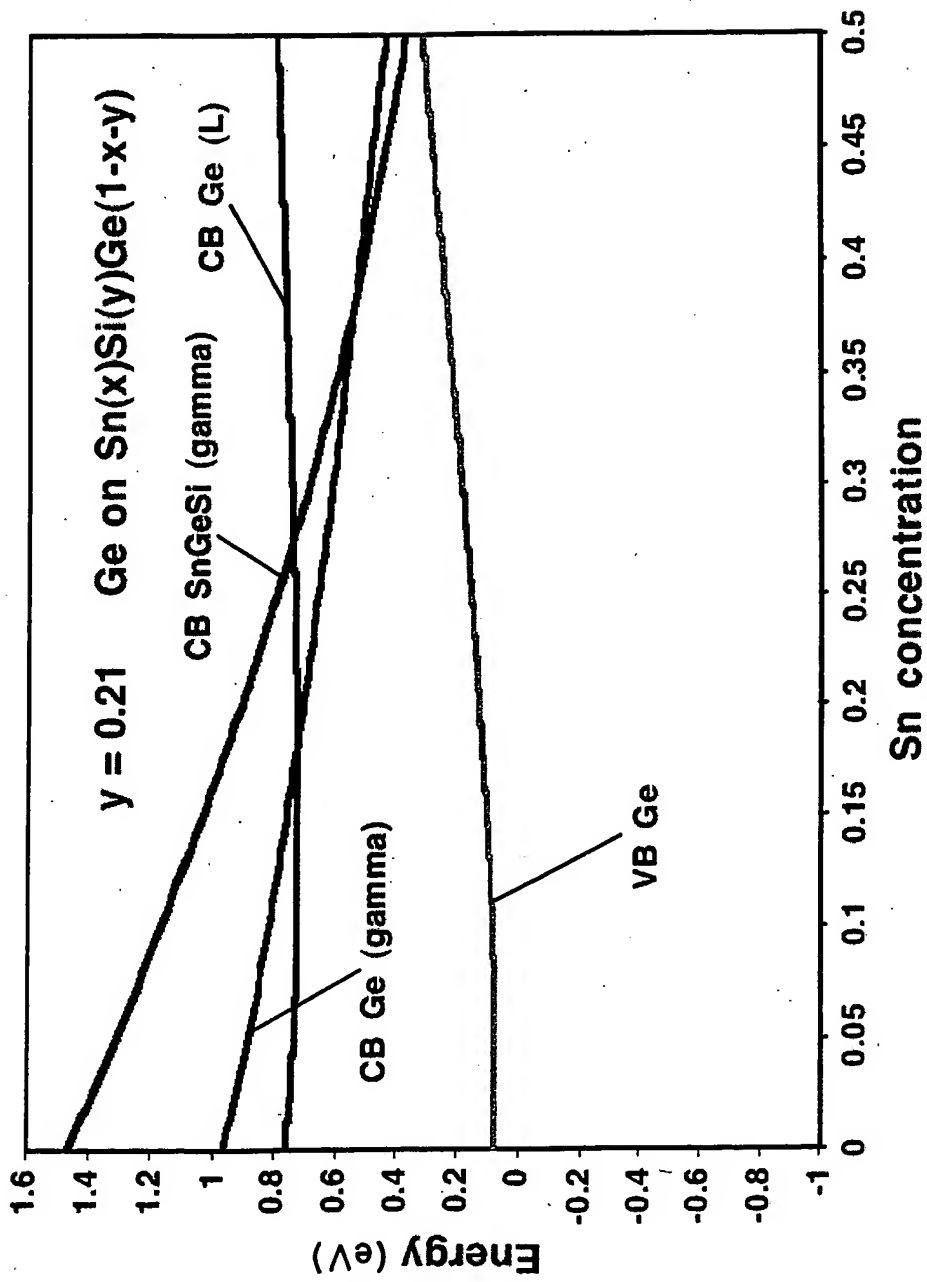


FIG. 3

RICHARD A. SOREF, et al
AFB00670
SHEET 4 OF 8

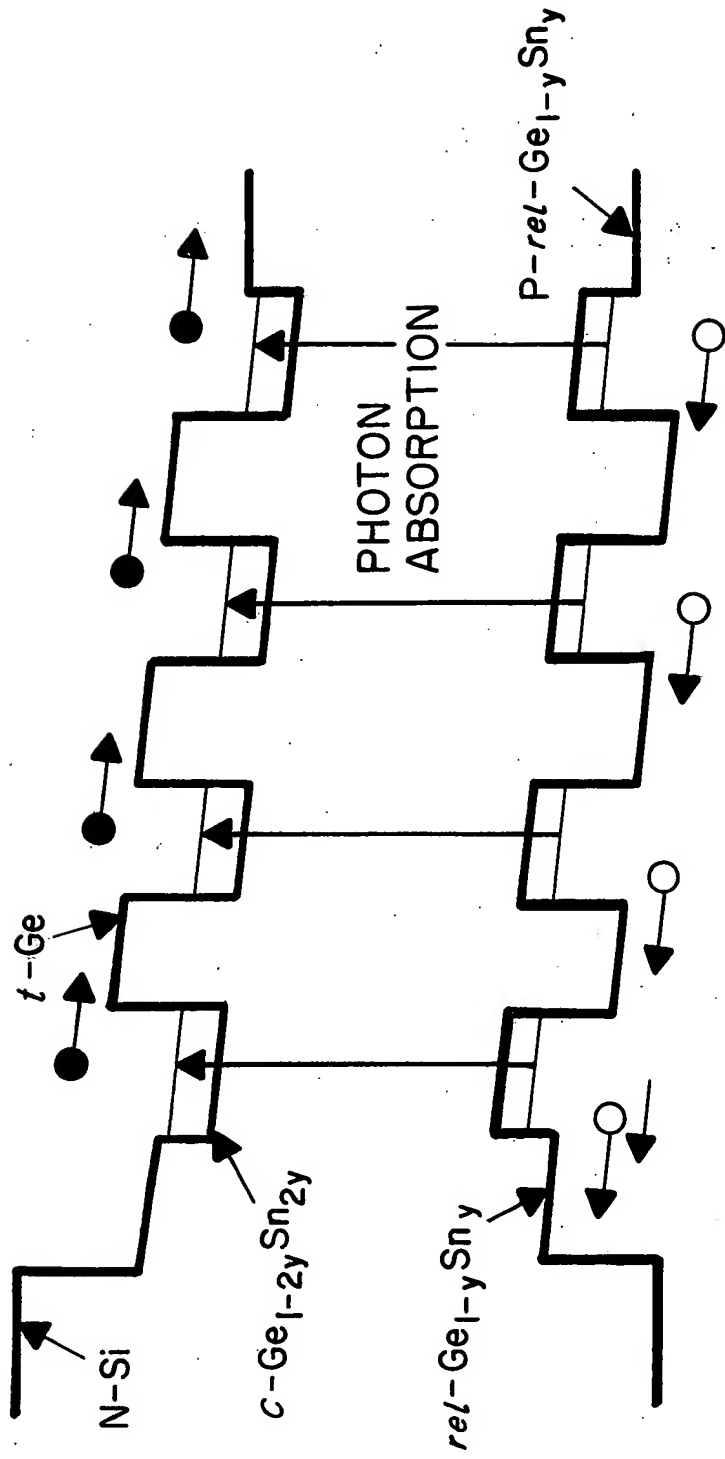


FIG. 4

L is above Γ for longer wave sensors

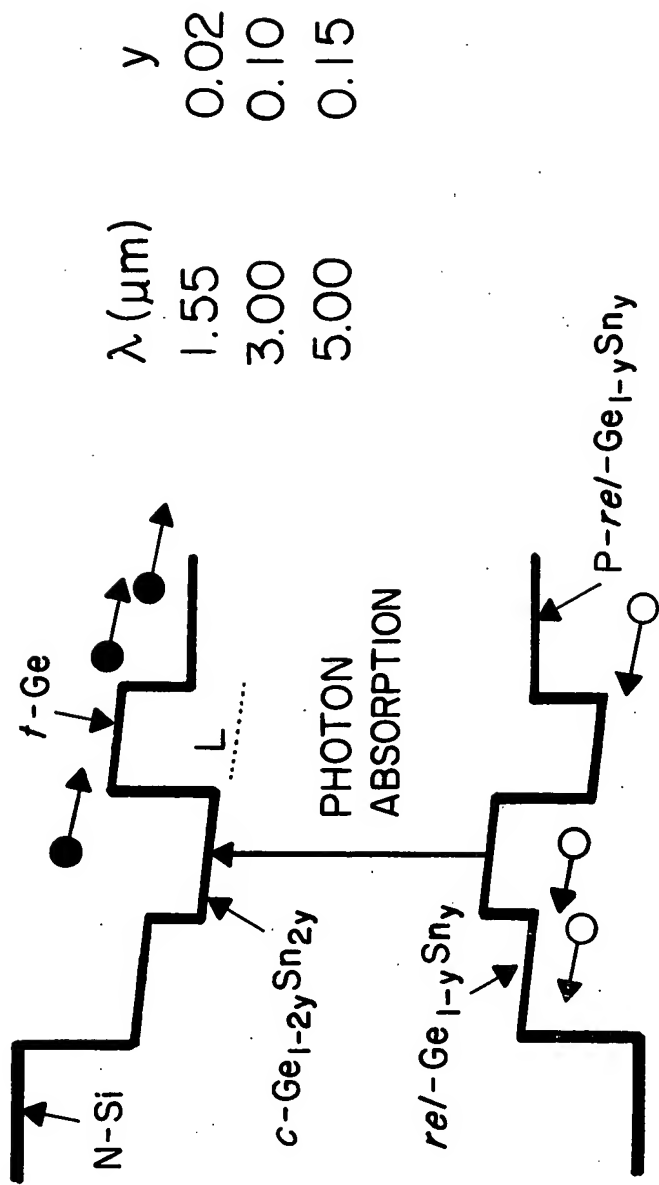


FIG. 5

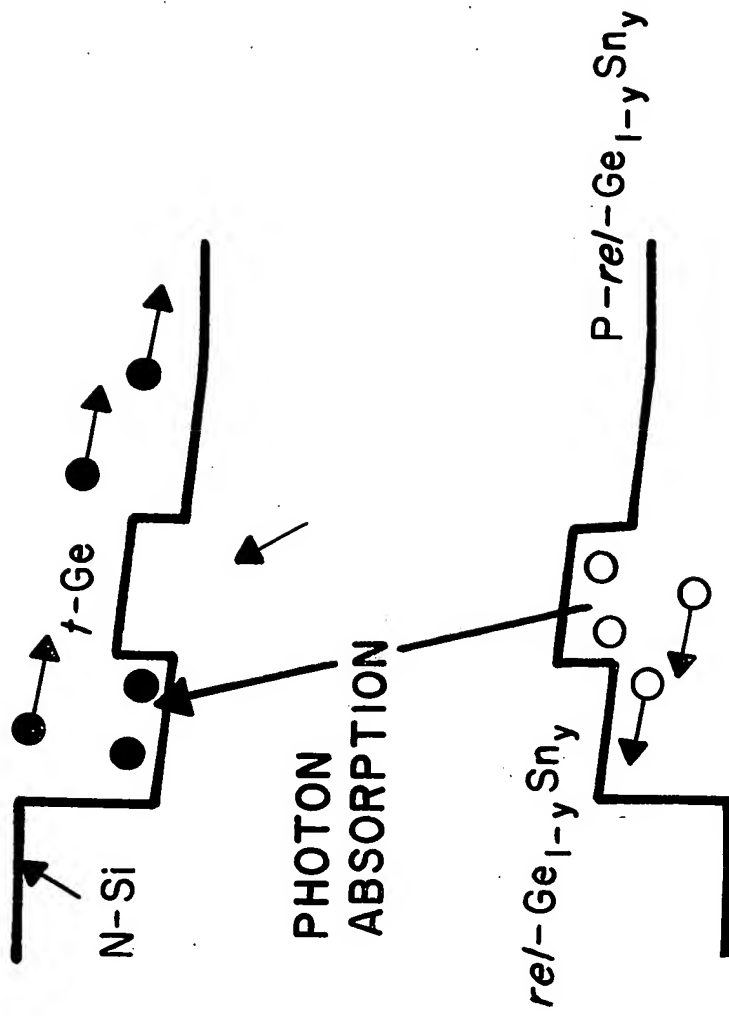


FIG. 6

RICHARD A. SOREF, et al
AFB00670
SHEET 7 OF 8

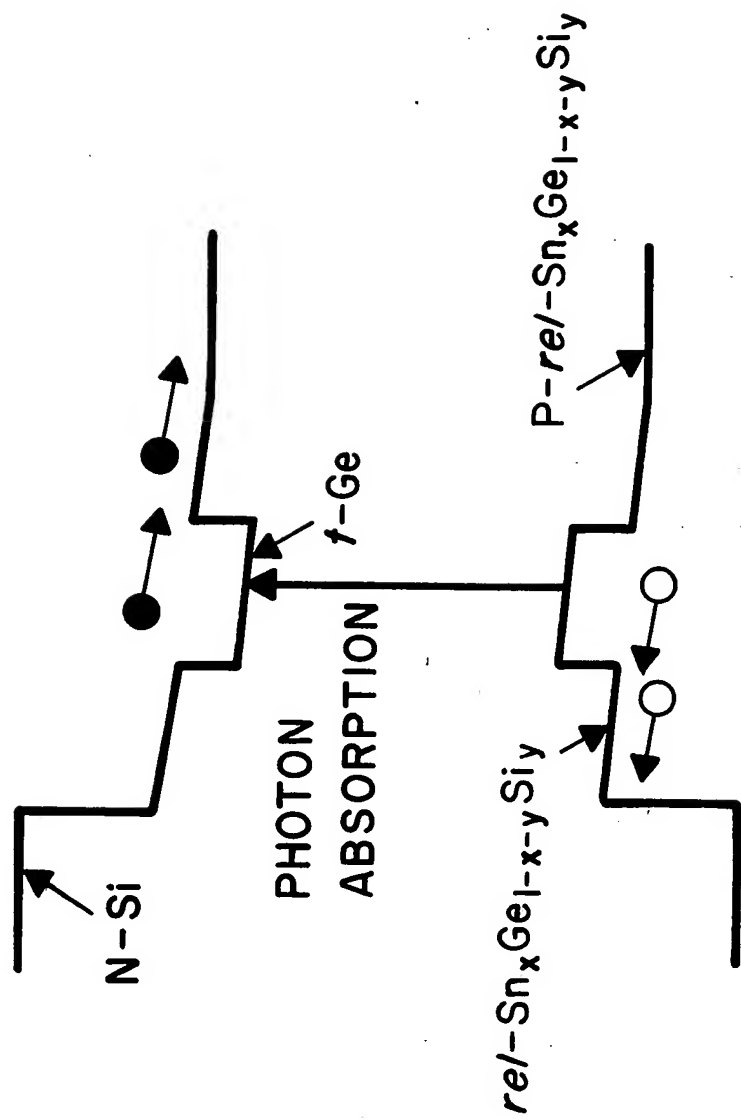


FIG. 7

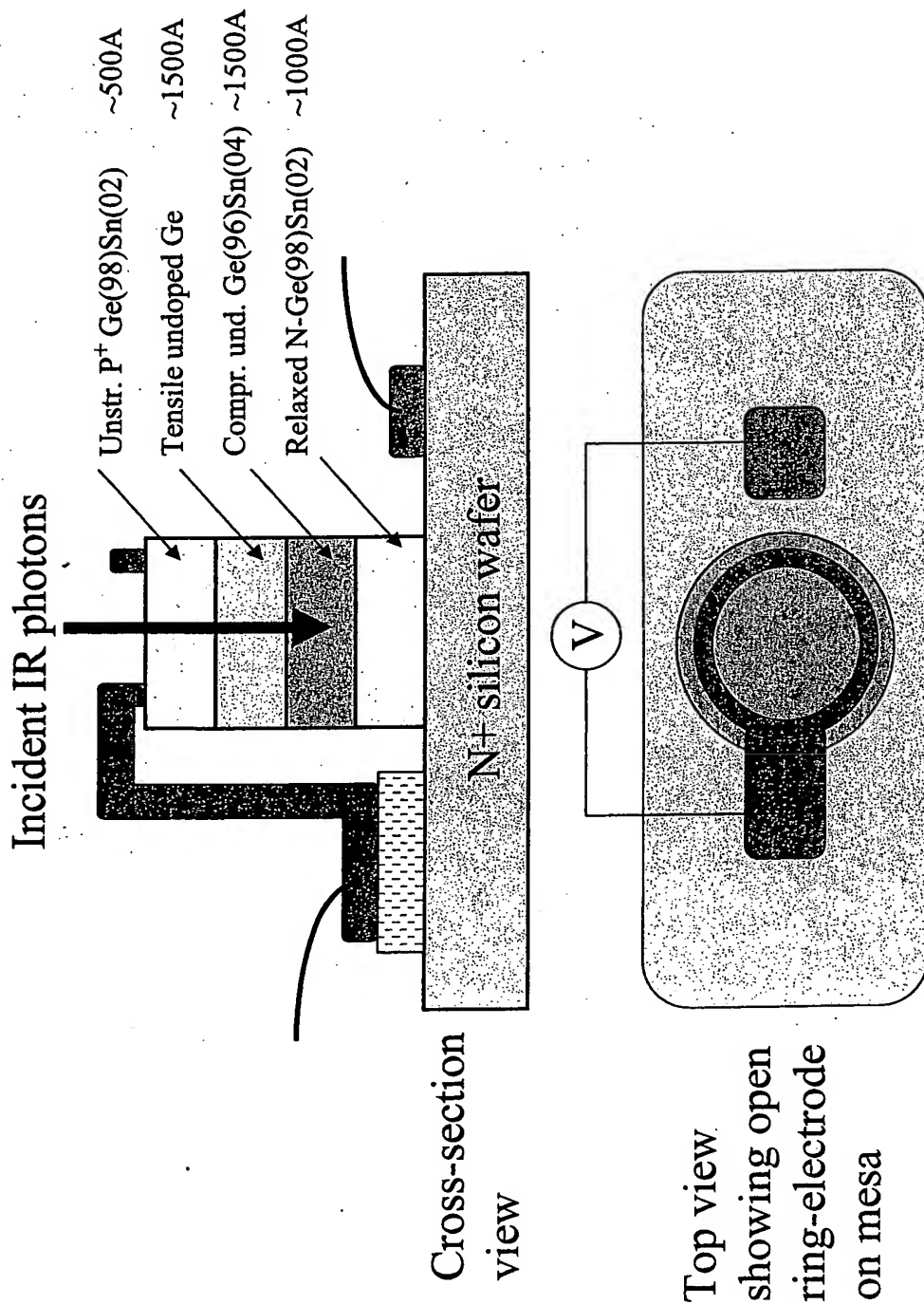


FIG. 8